

Измерения

« неэлектромагнитных излучений »

(т.н. “Странных излучений”),

сопровождаящих любые процессы

в материальных объектах и средах,

эфиродинамическими цифровыми

измерителями серии “ИГЭД-2хх”

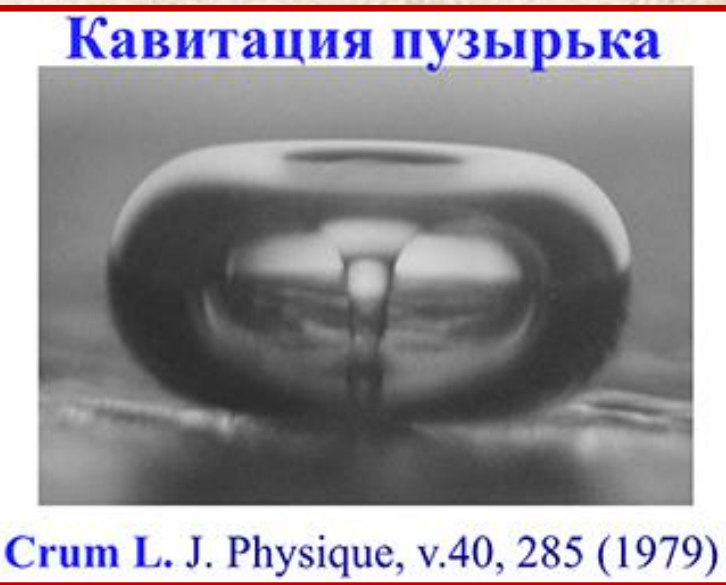
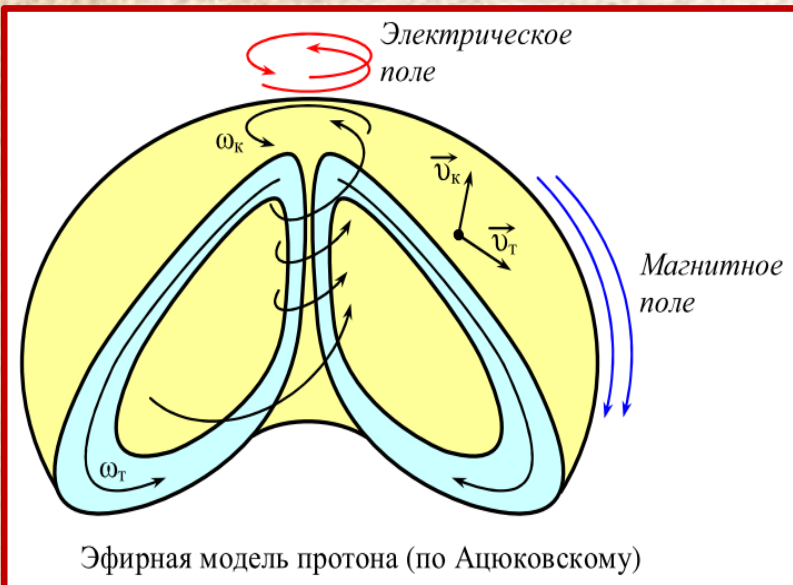
Авшаров Е.М.

Москва, 2023г.

Тороидально-Кольцевой Вихревой Эфиродинамический Процесс

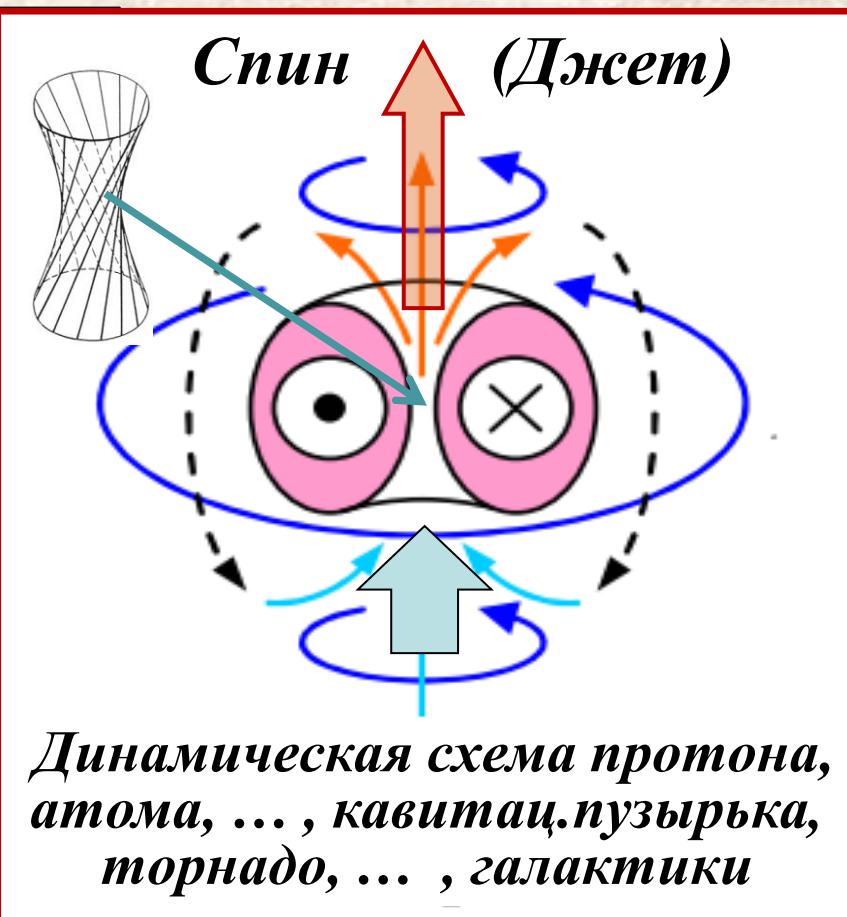
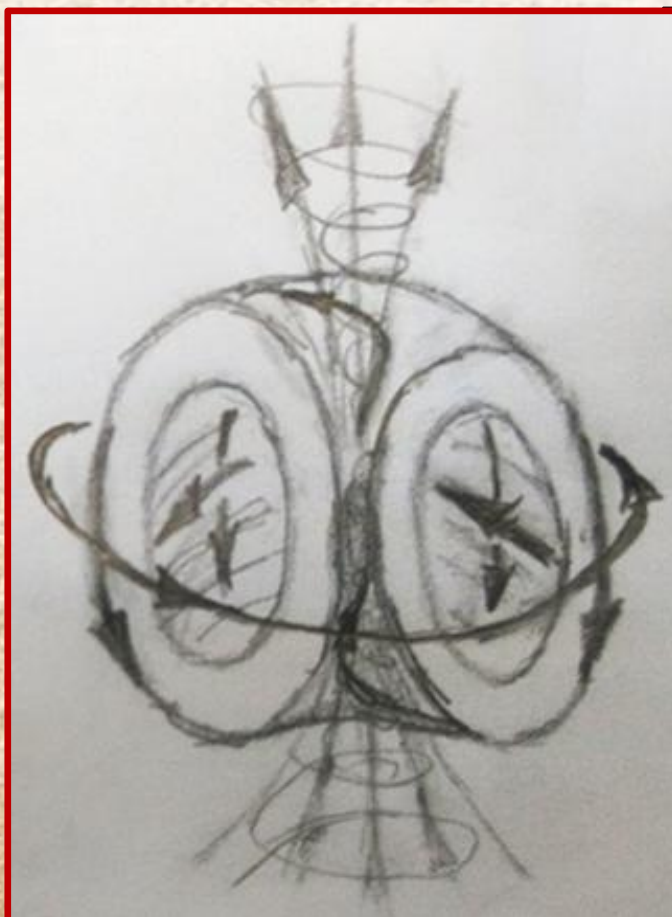
- от протона, через кавитацию, ... до галактик - результат взаимодействия потоков под действием "Градиентов Переменного Эфирного Давления"

Астроном. явления – вихревое движение эфира http://www.course-as.ru/AEM_GE/AEM_GED.html#Astro-T



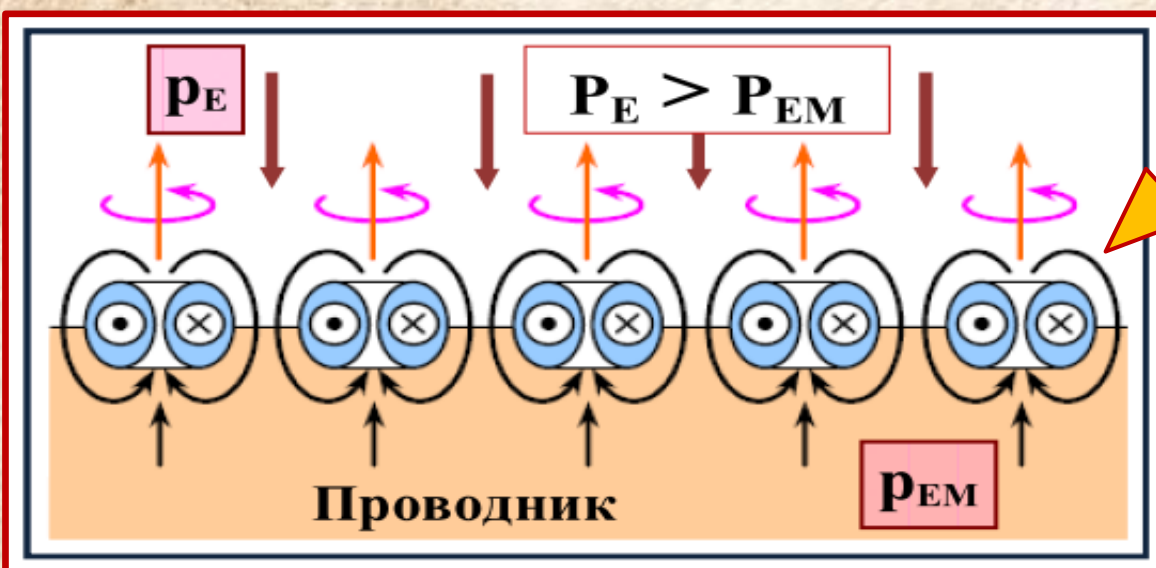
Тороидально-Кольцевая модель эфирного вихря расширена существенным вкладом прогоняемого через его центральную область потока, который представляет собой **спин (джет)** для всего диапазона масштабов : **Спин-Джет - вращающийся продольный твердотельный высокоэнергетический поток эфира.**

Модель Тороидально-Кольцевого Вихря со Спином



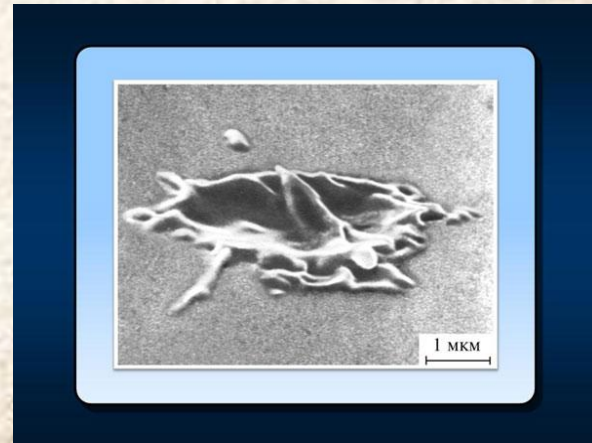
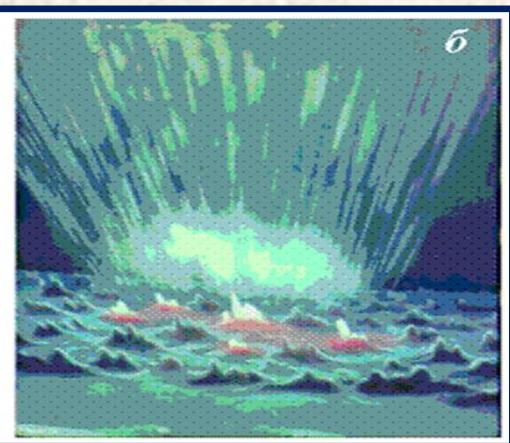
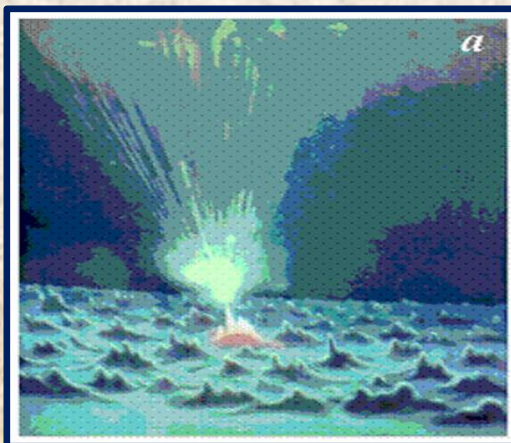
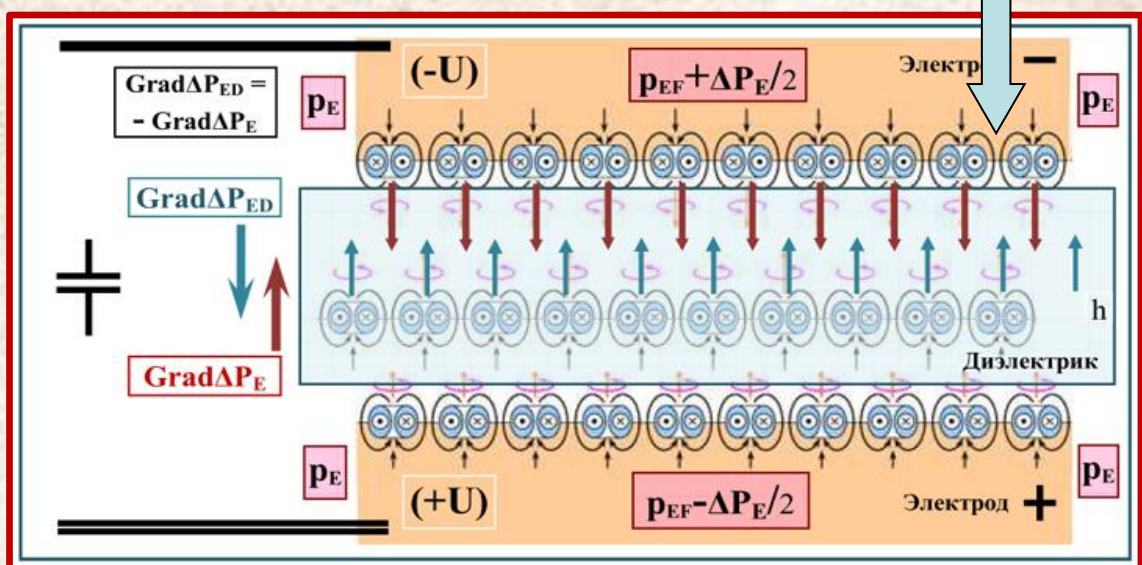
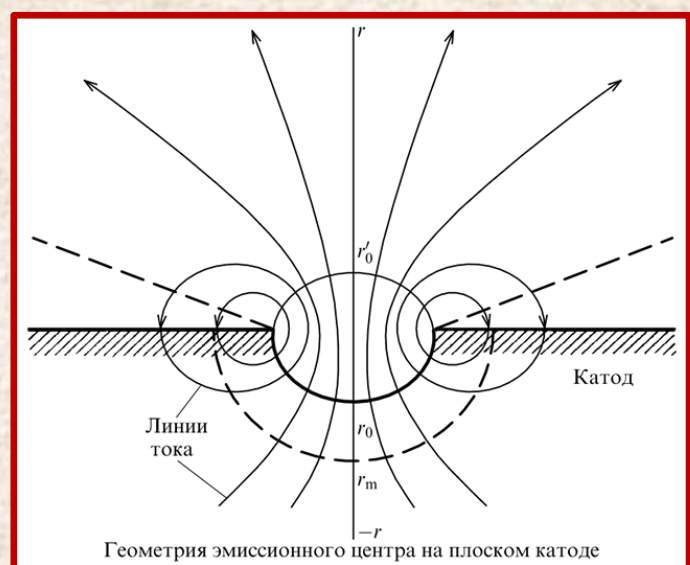
Эфирный Электро-Магнетизм. Часть 1. Статика. Электростатика.

Эфирный Электро-Магнетизм. Часть 1. http://www.course-as.ru/AEM_GE/AEM_EI-p1.pdf стр. 1-5.



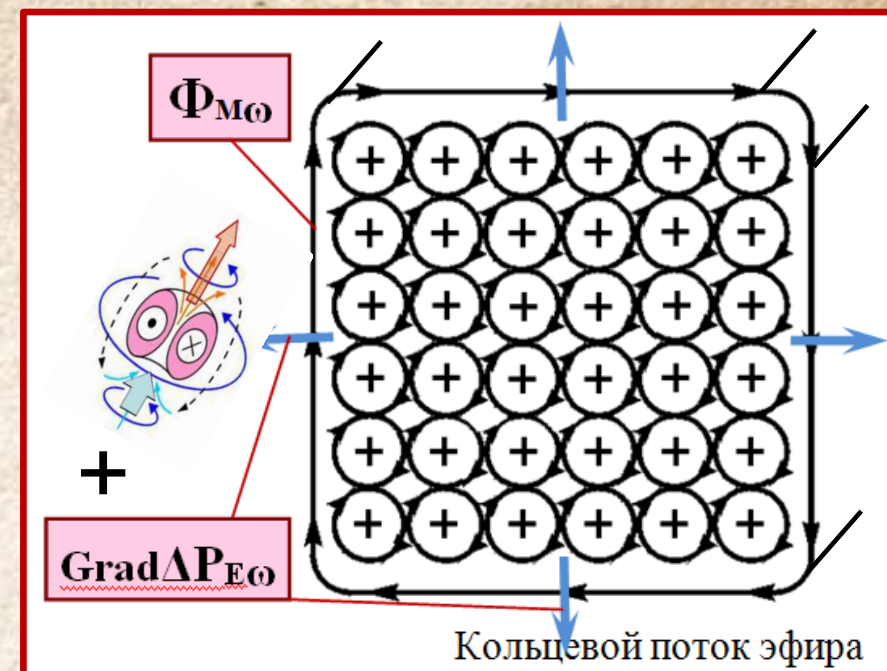
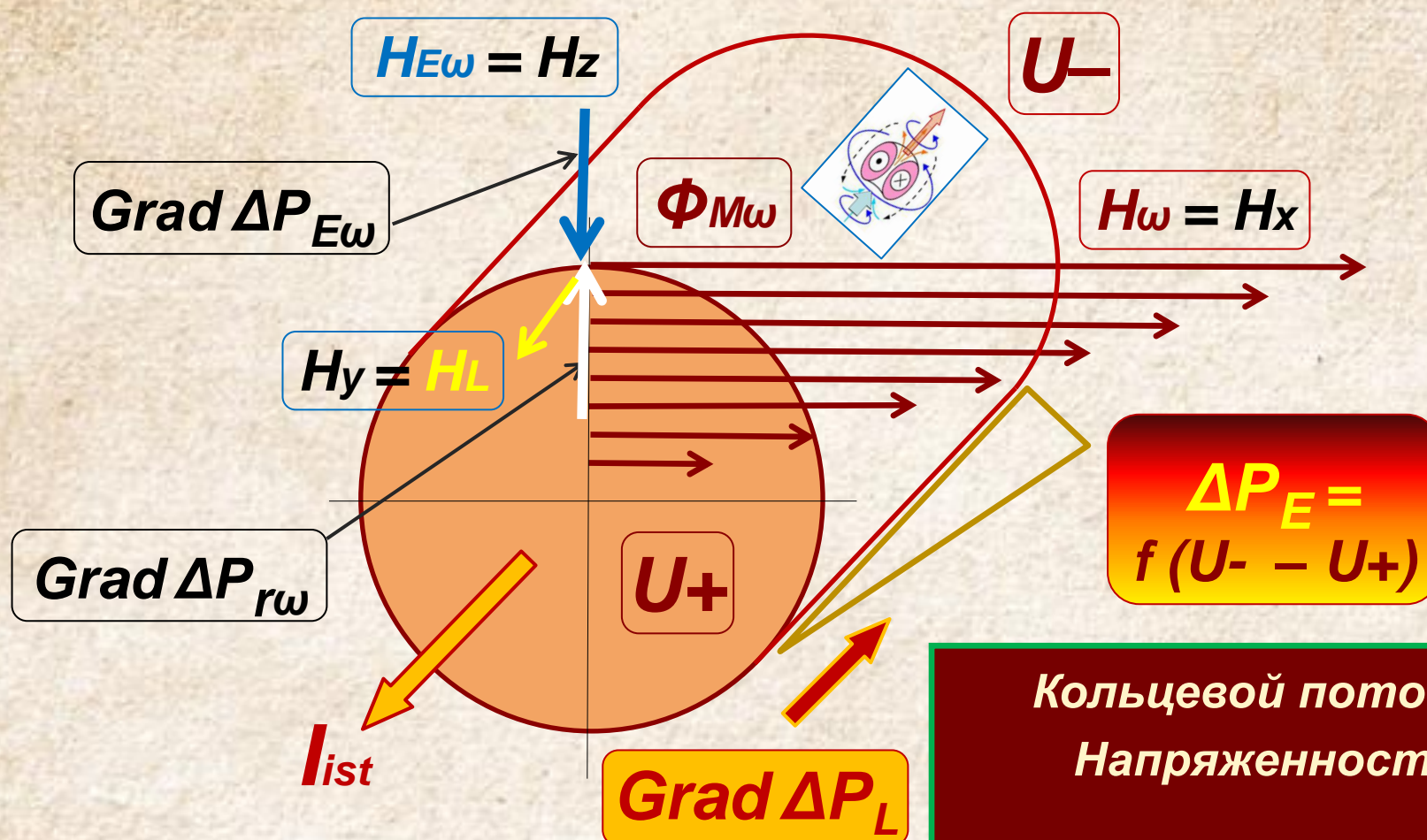
“Поверхность Ферми” проводника.
 Давление эфира внутри проводника (полупроводника) значительно ниже давления эфира за пределом этого проводника.
Конденсатор – эфиродинамический компонент, электроды которого находятся под разным внутренним эфирным давлением.

“Электрический ток” в проводнике есть градиентный поток эфира, текущей за счет разности внутреннего давления эфира $\pm \Delta P_E / 2$ в проводнике, созданного на его концах внешним генератором эфирного давления). $U/L = H_L$
 $I = k_A * \text{Grad } \Delta P_E * S$
 $U/L = k_R * \text{Grad } \Delta P_E$
 ($k_R \equiv$ размерность ρ_{EL})



Эфирный Электро-Магнетизм. Часть 2. Статика. Магнитостатика.

Эфирный Электро-Магнетизм. Магнитостатика. http://www.course-as.ru/AEM_GE/AEM_EI-p2.pdf стр. 1-5.

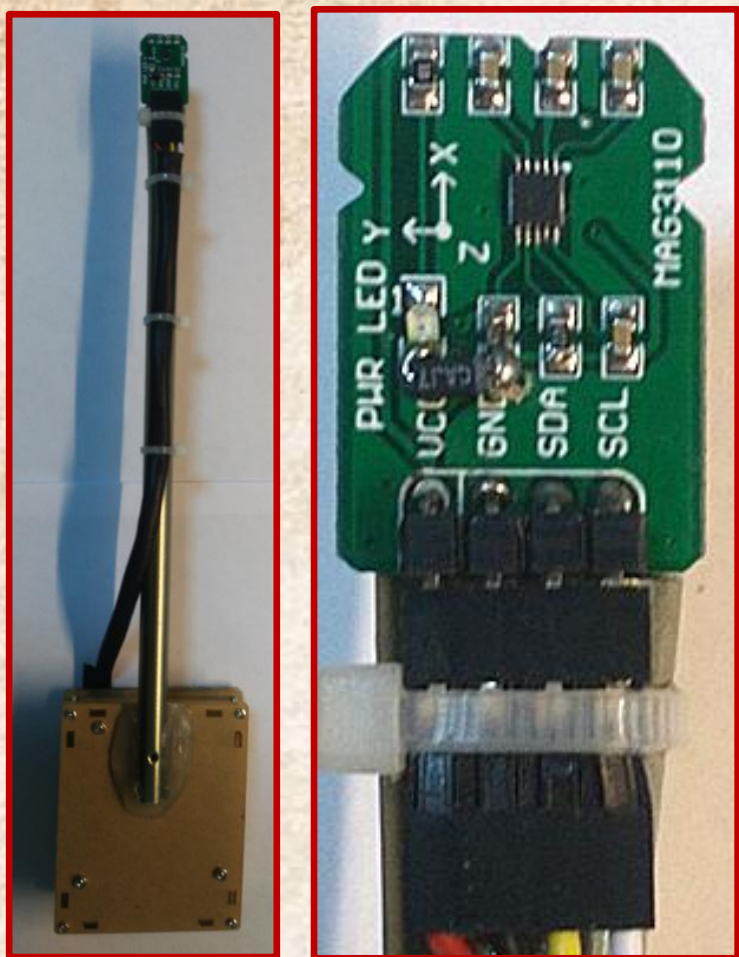


"Магнитное поле" есть ламинарный, замкнутый на себя локальный поток эфира, возникающий в пространстве под действием Градиентов Эфирного Давления, вызванных внешним или внутренним силовым воздействием.

Кольцевой поток - $\Phi_{M\omega} = k_\phi * Grad \Delta P_E * r_m^2$
 Напряженность - $H_\omega = k_\omega * Grad \Delta P_E * r_m$
 Радиаль. град. - $Grad \Delta P_{r\omega} = -k_{r\omega} * Grad \Delta P_E / r_m$
 Перпенд. к центру - $\Delta P_{E\omega} = -k_{r\omega} * Grad \Delta P_E * r_m$
 $\Delta P_{E\omega} = -\Delta P_{r\omega}$
 ($k_{r\omega} \equiv$ размерность $1/L$)
Продольный градиент - $Grad \Delta P_L = k_L * Grad \Delta P_E$
 Эфир движется в проводнике как твердое тело с значительным преобладанием вращательного движения над поступательным

Измерения Градиентов Эфирного Давления проводника с током Эфирный Электро-Магнетизм. Часть 2. Статика. Магнитостатика.

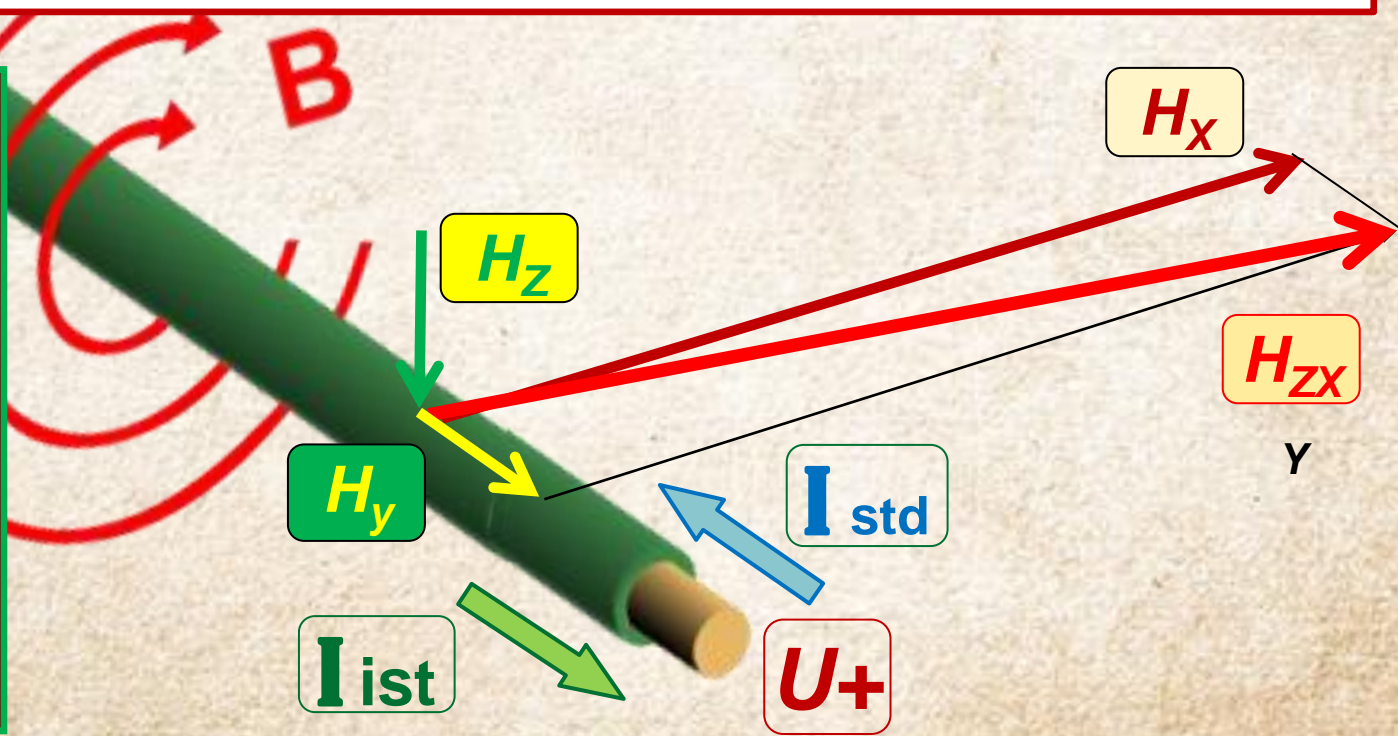
Эфирный Электро-Магнетизм. Магнитостатика. http://www.course-as.ru/AEM_GE/AEM_EI-p2.pdf стр. 12-13.



Магнитные измерения на поверхности проводника с током.

	Ток	Напряженность магнитного поля			
		H_x	H_y	H_z	H_R
	I	μT	μT	μT	μT
1	10.0	488,5	8,4	112,9	501,5
2	5.00	245,5	6,6	59,3	252,7
3	2.00	98,6	3,0	24,4	101,6
4	1.00	50,2	1,4	12,5	51,8
5	0.50	25,0	0,7	6,1	25,8
6	0.20	11,1	0,2	2,4	11,3
7	0.10	6,3	0,1	1,5	6,5

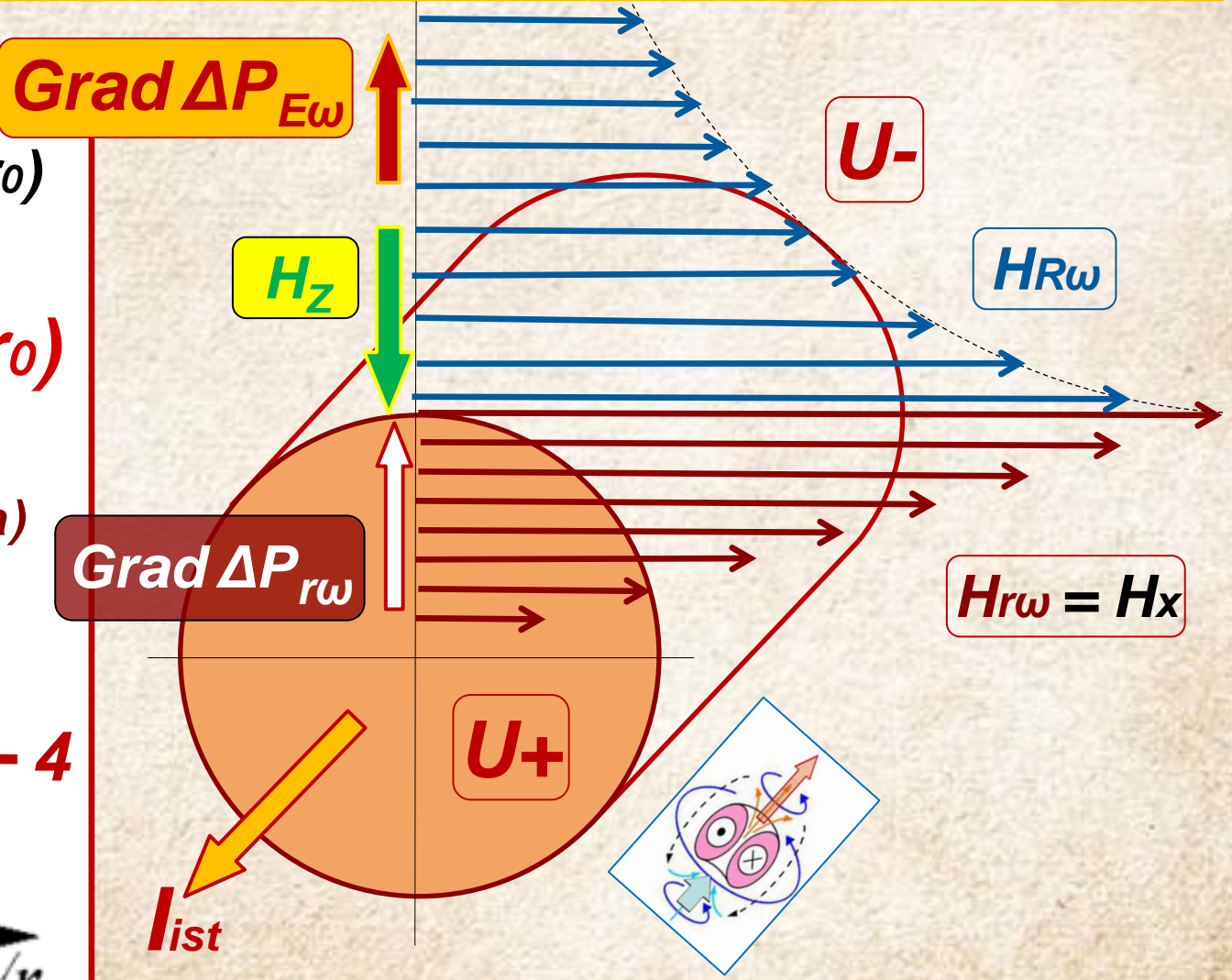
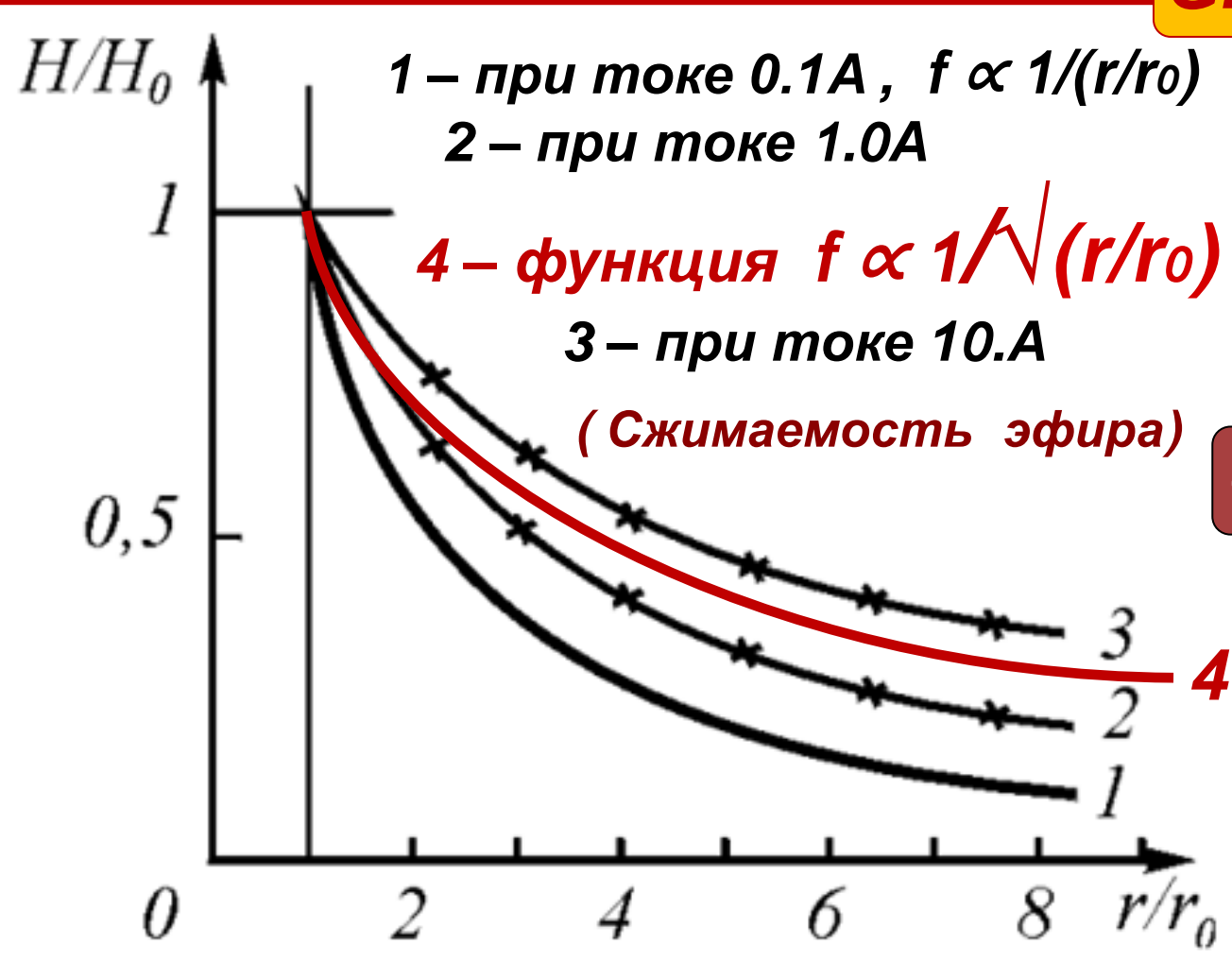
Измерения Градиентов Эфирного Давления (H) проводника с током
 Датчик Холла **MAG3110** Freescale
 Динамический диапазон = $\pm 1000.0 \mu T$
 Чувствительность = $\pm 0.1 \mu T$
 Размеры кристалла = $1.2 * 1.2 * 0.4 \text{ mm}$
 Частота регистрации = до 80 Hz ($H_x/H_y/H_z$)
 Шина I^2C с **Arduino UNO R3 (USB)**



Измерения Градиентов Эфирного Давления проводника с током
Эфирный Электро-Магнетизм. Часть 2. Статика. Магнитостатика.

Эфирные потоки вокруг проводника с постоянным током
 Движения эфира вокруг проводника с током представлено дано Ацюковским В.А. , где показано что кольцевая составляющая эфирного потока, пропорциональная напряженности кольцевой составляющей “магнитного поля”, зависит от величины тока в проводнике: при малых токах функция пропорциональна $1/(r/r_0)$, а при больших токах изменяется медленнее чем функция $1/(r/r_0)^{0.5}$.
 / Напряженность “магнитного поля” $H \propto$ градиенту давления эфира $Grad \Delta P_E /$

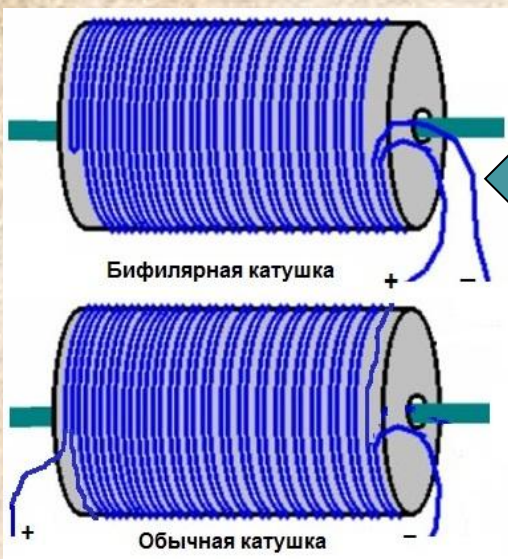
Ацюковский В.А. Общая эфиродинамика



“Бифилярная катушка” – первый компонент детекторов измерителей
“Градиентов переменного Давления Эфира” серии **“ИГЭД-2хх”**

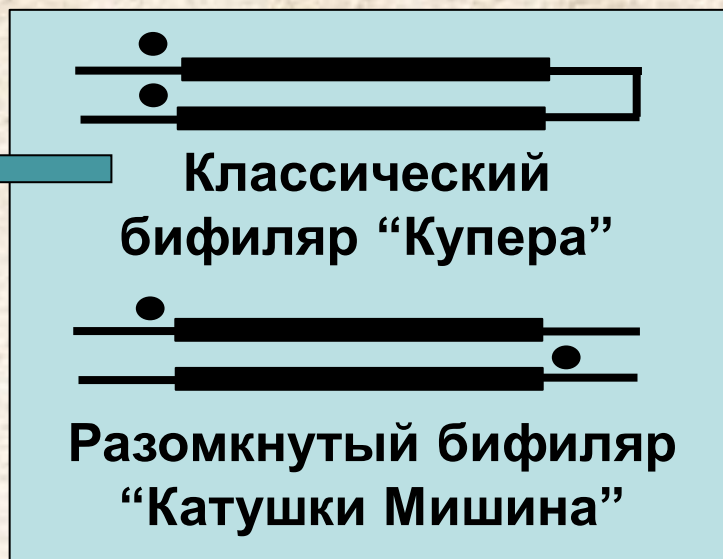
GED-6

Бифиляр “Купера”



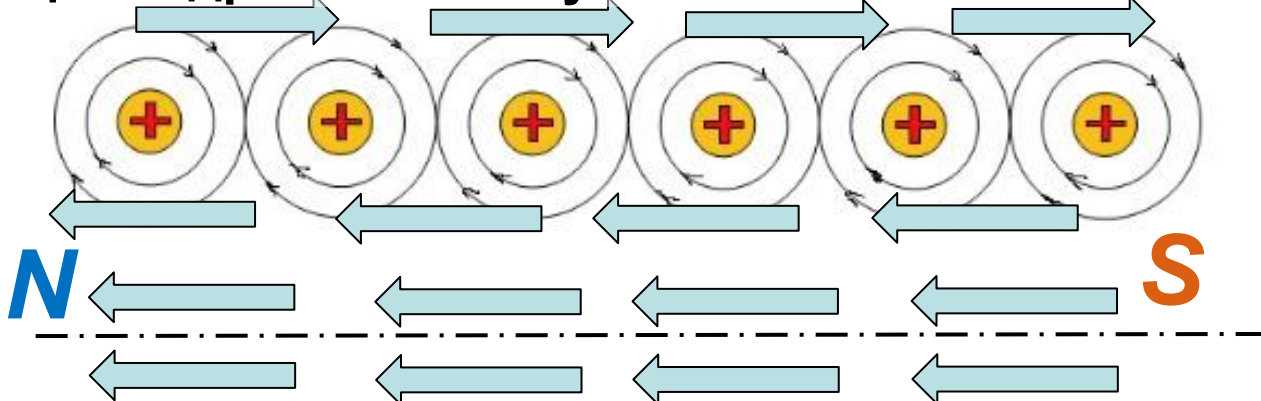
Цилиндр. катушка

Условное обозначение

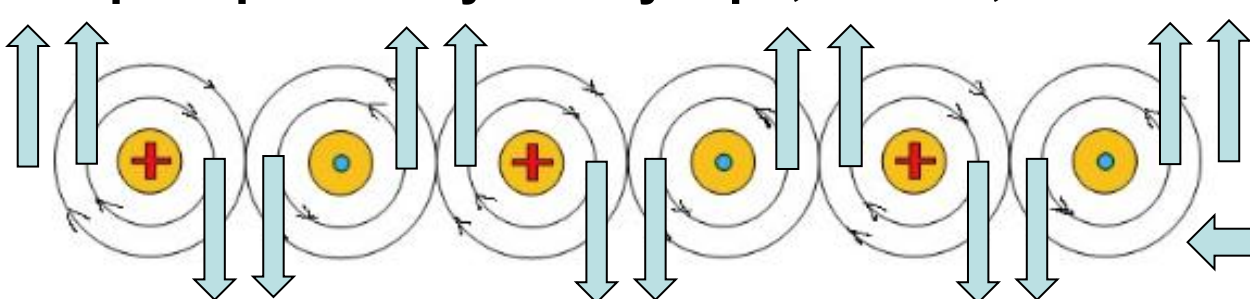


бифилярных катушек

Цилиндрическая катушка



Бифилярная катушка Купера, Теслы, Мишина



Переменный “электрический ток” в теле бифилярной катушки не создает “электромагнитного излучения”, не возникают т.н. “магнитные полюса”, характерные для обычной катушки - **между соседними проводниками возникают разнонаправленные потоки эфирной среды, синхронно изменяющиеся вместе с направлением и амплитудой “электрического тока”.**

Порождаются разноразмерные вихревые тороидально-кольцевые образования эфира, обладающие уникальной сверхпроникающей способностью.

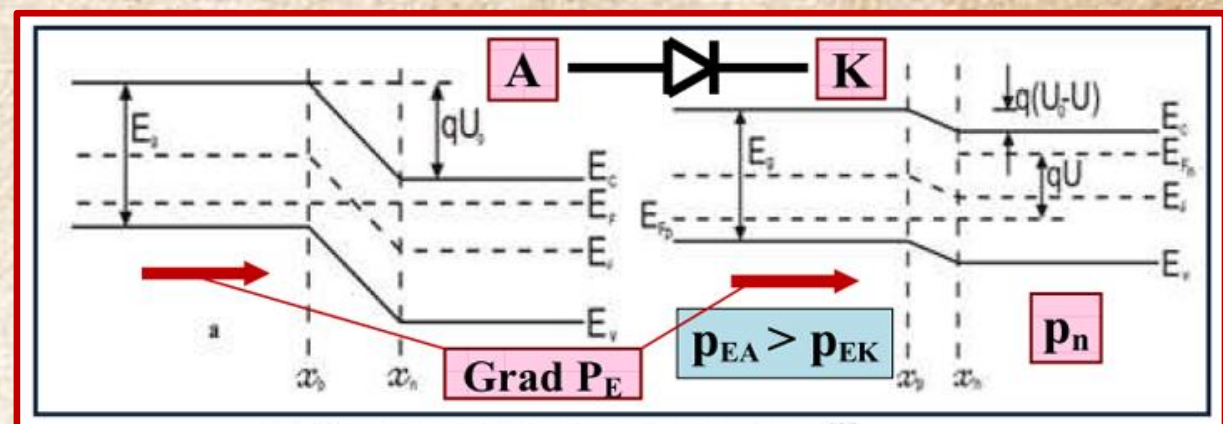
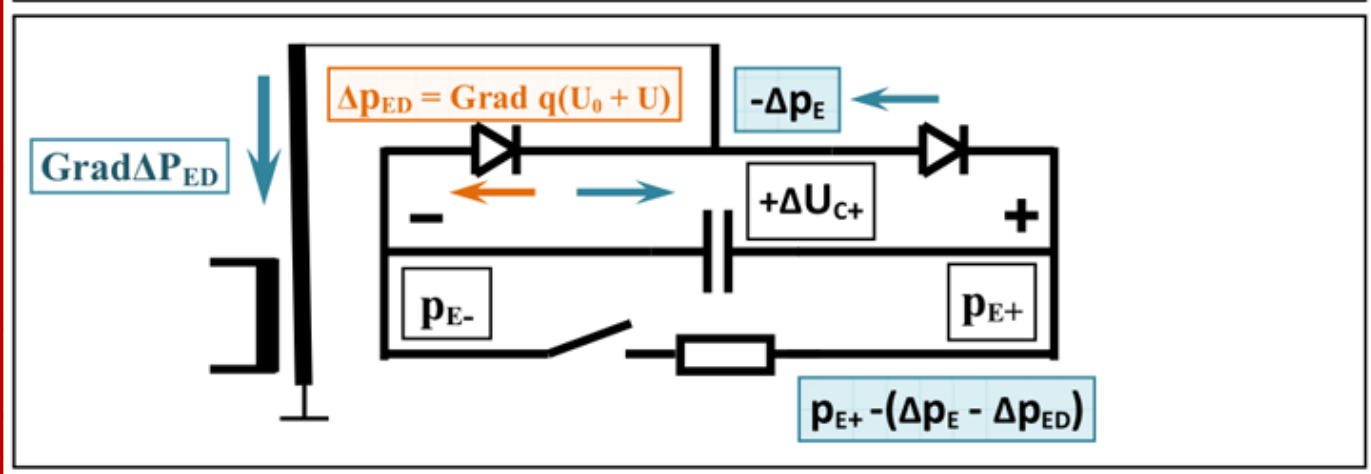
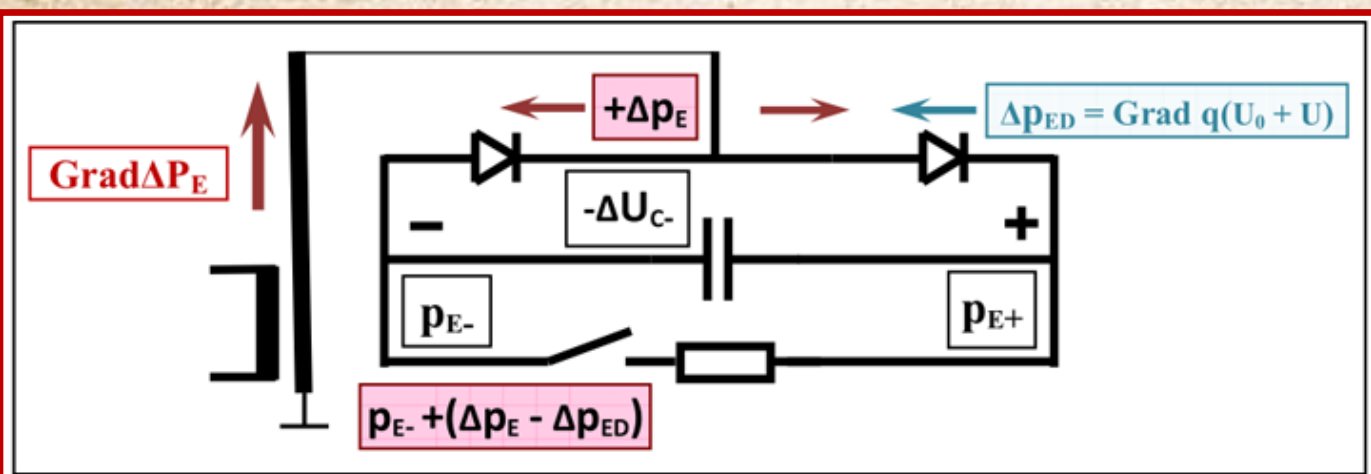
Спектральная характеристика не имеет ярко выраженной резонансной частоты, а растянута по всему спектру.

Индуктивность бифиляра $L=0$.

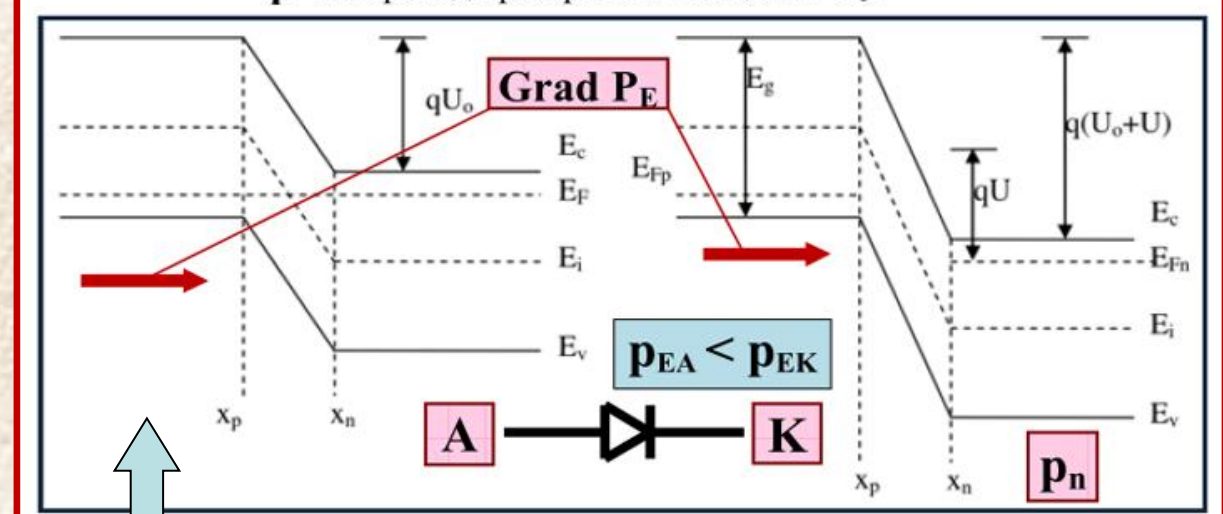
Приемная Бифилярная катушка идеально выделяет колебания давления вихревой эфирной среды.

“Вилка Авраменко” – первый компонент детекторов измерителей “Градиентов переменного Давления Эфира” серии **“ИГЭД-2хх”**

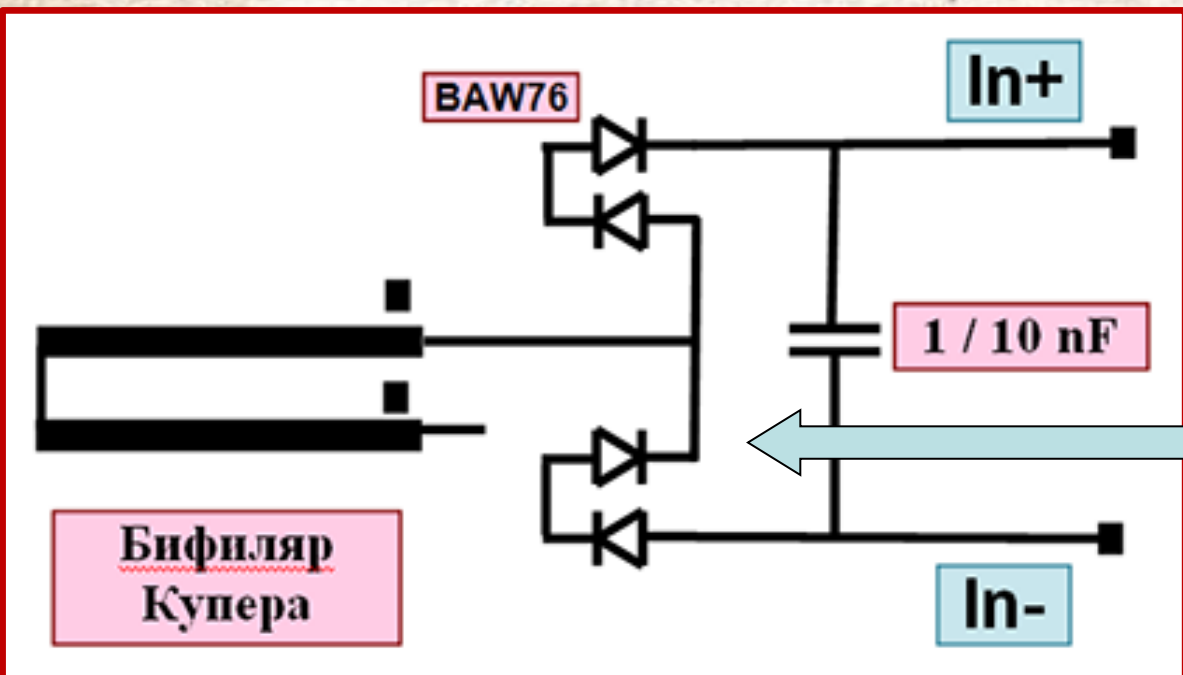
Эфирный Электро-Магнетизм. Часть 1. http://www.course-as.ru/AEM_GE/AEM_EI-p1.pdf стр. 7-11.



p-n переход при прямом смещении U_0 .



p-n переход при обратном смещении U_0 .



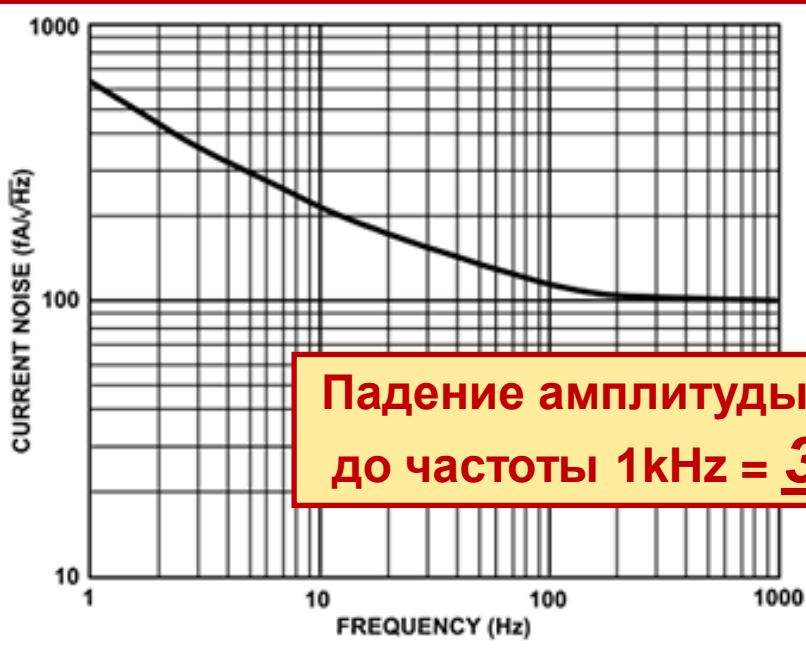
Распределение внутренних давлений эфирной среды в диодах при прямом и обратном включениях.

Бифиляр и “Вилка Авраменко” в “Измерителях Градиентов Эфирного Давления” серии “ИГЭД-2хх”.

Измеритель градиентов давления эфирной среды "ИГЭД-2гр" -измерение окружающей среды в не возбужденном состоянии.

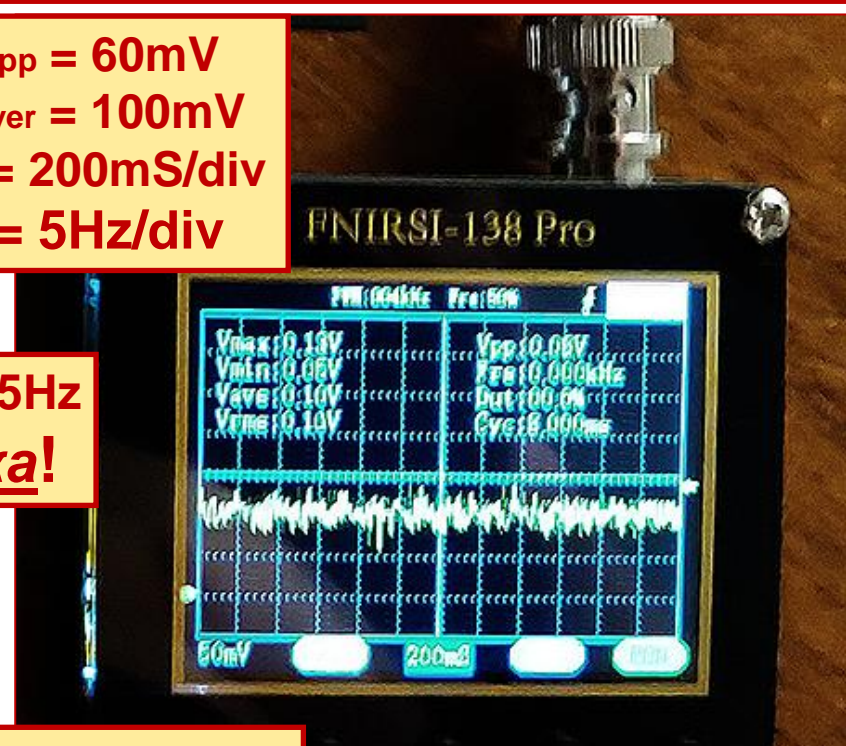
Одно из доказательств "не электромагнитных измерений" !!

Создание прибора регистрации эфирной среды [http://www.course-as.ru/AEM_GE/AEM_MGEP-RT\(Pres\).pdf](http://www.course-as.ru/AEM_GE/AEM_MGEP-RT(Pres).pdf)



Падение амплитуды шума от 5Hz до частоты 1kHz = 3 порядка!

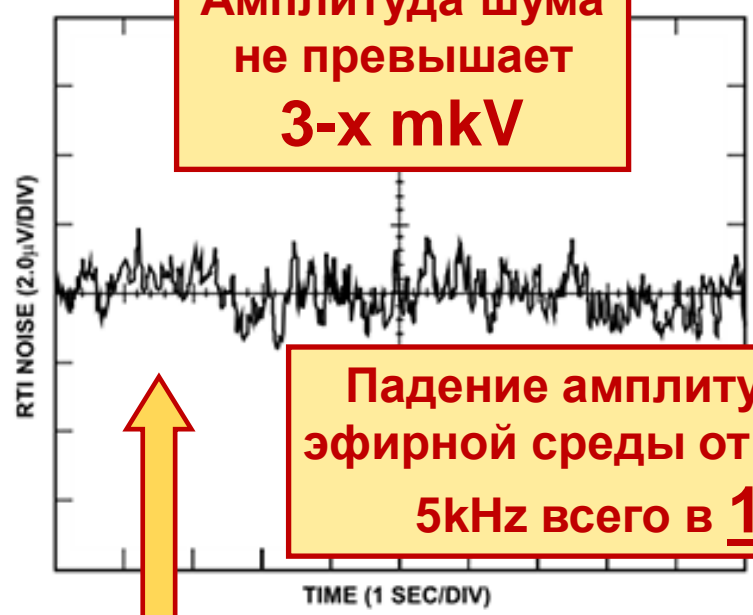
$V_{pp} = 60mV$
 $V_{aver} = 100mV$
 $1/f = 200mS/div$
 $f = 5Hz/div$



V_{pp} = амплитуда колебаний эфирной среды
 V_{aver} = средне интегральная составляющая колебаний эфирной среды
 $1/f$ = величина длительности, приходящееся на 1-у клетку
 f = частота, приходящейся на 1-у клетку

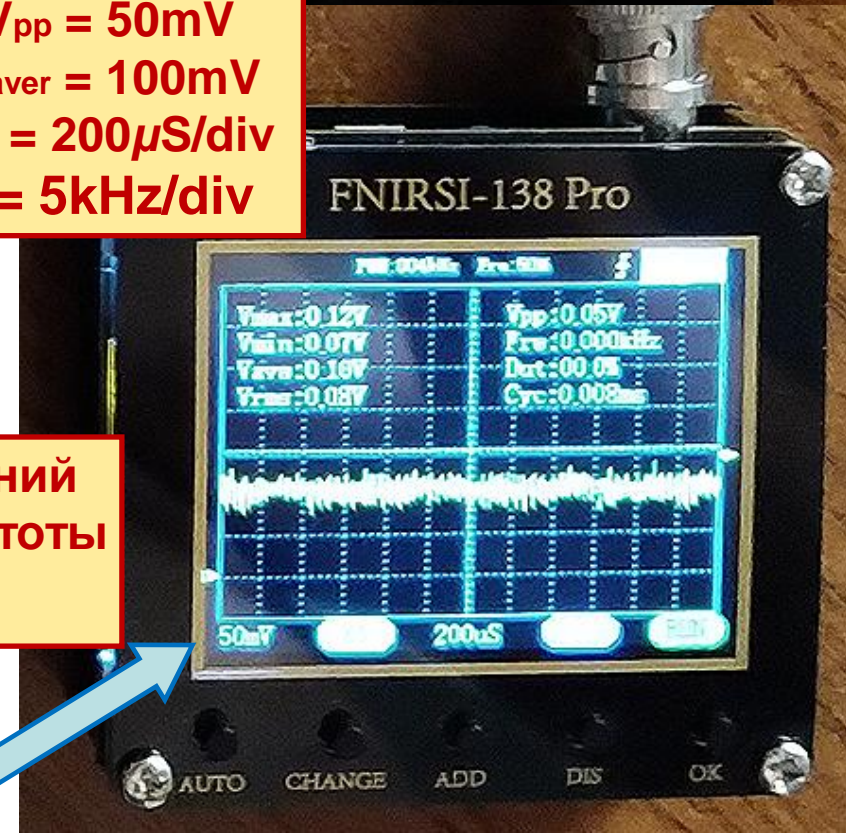
Figure 11. Current Noise Spectral Density vs. Frequency

Амплитуда шума не превышает 3-х мкV



Падение амплитуды колебаний эфирной среды от 5Hz до частоты 5kHz всего в 1.2 раза!!

$V_{pp} = 50mV$
 $V_{aver} = 100mV$
 $1/f = 200\mu S/div$
 $f = 5kHz/div$



Для визуализации переменной составляющей колебания давления эфирной среды применен осциллограф с автономным аккумуляторным питанием, обеспечивающий полную гальваническую развязку от внешнего воздействия - защита от Эффекта Однопроводной Линии.

Характерный "Электронный Шум" и "Шум окружающей эфирной среды"

Протокол демонстрации

Измерителей Градиентов Эфирного Давления реального времени серии ИГЭД-2 и ИГЭД-2(гр) /с гальванической развязкой /

Демонстрация возможностей измерителей серии ИГЭД-2 проведена 06.04.2023г. в "Центре коллективного пользования РУДН" (ул. Миклухо-Маклая 8, кор 2) в пом. № _____

Представлены:

1. измерения градиентов переменного эфирного давления датчиком ИГЭД-2 над поверхностью воды в пластиковой рюмке:
 - a. без воздействия на эфирную среду и воздействие человека,
 - b. при расположении рюмки с живым соком лимона на расстоянии 5-6 см.,
 - c. при расположении рюмки с водой на расстоянии 5-6 см. после воздействия на нее в/в разрядом.
2. Измерения дифференциальным датчиком переменных градиентов эфирного давления - ИГЭД-Д (био-исследования) - размещении воды в одну из пробирок.
3. измерения градиентов переменного эфирного давления датчиком ИГЭД-2 при дистанционном воздействии катушки Тесла (Ф 20мм x40) при работе на однопроводную линию с нагрузкой через промежуточную катушку Тесла на различных расстояниях – диапазон чувствительности более 6-7 порядков.
4. Параллельные измерения переменного эфирного давления датчиком ИГЭД-2(гр)

Демонстрация проведена разработчиком датчиков и измерителей, с теоретическим обоснованием работы ее компонентов - Авшаровым Евгением Михайловичем.

Описание измерителей представлено на сайте: "Градиентная Эфиродинамика /GED/" (http://www.course-as.ru/AEM_GE/AEM_GED.html)

Страницы - http://www.course-as.ru/AEM_GE/AEM_GED.html#MGEP-V и http://www.course-as.ru/AEM_GE/AEM_GED.html#MGEP-2

Работоспособность измерителей подтверждена (ФИО, звание, комментарии, подпись):

*ИГЭД-2 демонстрирует эффекты за пределами
Стандартной модели Классической Электродинамики*

*06.04.2023 И.Э. Будниченко, к.ф.-м.н., с.н.с. АИССЕР по сме-
жным дисциплинам, "Радиотехника в биологии и медицине: радио-
физику" разработчик Дикров Александр РАР,
руководитель ИИПВ им. А.П.Левитца
Ученый секретарь РУДН, ORCID ID: 0000-0003-3835-0973*

*06.04.2023 Д.В. Рясник, к.б.н., в.н.с. каф. Биологии биологического
факультета МГУ
Ученый секретарь ИИПВ им. А.П.Левитца*

"Измерители Градиентов Давления Эфирной Среды серии ИГЭД-2хх"

Демонстрация возможностей

Представлены демонстрации измерений колебаний давления эфирной среды :

1. Измерение датчиком ИГЭД-2+ колебаний эфирной среды над поверхностью воды;
2. Измерение Дифференциальным датчиком - ИГЭД-Д водных растворов (для биологии);
3. Измерение датчиком ИГЭД-2+ при дистанционном воздействии малой катушки Тесла в однопроводной линии с промежуточной катушкой Тесла на разных расстояниях :
диапазон измерения более 7 порядков !
4. Измерение датчиком ИГЭД-2гр импульсного **оптического светодиодного излучателя**, без и с экранированием алюминиевой фольгой в 3-и слоя, с добавлением двухслойного фольгированного стеклотекстолита **1.54 мм** (толщина **Cu = 0.2 мм**), при этом величина излучения **уменьшалась менее чем в 2-а раза !**

Доказательство

"не электромагнитных измерений"
датчиками серии "ИГЭД"

Заключение :

"ИГЭД-2хх" демонстрируют эффекты за пределами Стандартной модели Классической Электродинамики

Что позволяет измерять серия “ИГЭД-2хх”:

- 1. Интегральные колебания давления эфирной среды визуализируются с точностью до 0.01% в реальном времени, постоянная времени равна 0.5 сек.;**
- 2. Колебания давления окружающей эфирой среды, регистрируемое в течении дня, более чем в 2 раза больше минимального колебания давления окружающей среды;**
- 3. Увеличение давления эфирной среды над поверхностью сосуда с водой водным раствором до 25-30% от величины колебаний давления окружающей эфирной среды – реакция на прохождение равновесной реакции Жаботинского-Белоусова с ассоциацией водных растворов в кластеры, и диссоциации обратно;**
- 4. Эфиродинамическую составляющую импульсного электромагнитного излучения, в том числе полностью экранированного, диапазон – более 7-ми десятичных порядков! ;**
- 5. Эфиродинамическое импульсное светодиодное излучение, в том числе экранированное алюминиевой фольгой и / или светонепроницаемым экраном – измерения позволяют видеть наплыв кучевого облака на Солнце и обратно (разброс значений более 2-х раз);**
- 6. Величину и пространственное распределение “странных излучений” при разрядных процессах в материальных средах, при “ХТЯ” (“Холодной Трансмутации Ядер”);**
- 7. Измерение пространственного распределения “патологических излучений” при плазменном разряде в газообразной, жидкой и твердой материальной среде;**
- 8. Визуализация колебаний градиентов переменного давления эфирной среды стало возможно благодаря гальванической развязке измерительной части и визуализации на осциллографе с автономным питанием, вплоть до частоты 1Mhz, ограниченная частотной характеристикой электронных компонентов гальванической развязки.**

Измерение вокруг водной кавитационной тепловой установки “iWET” измерителем Градиентов Эфирного Давления – ИГЭД-2гр”

GED-11

Одно из доказательств “не электромагнитных измерений” !!

Измерение эфирной среды установки “iWET” http://www.course-as.ru/AEM_GE/AEM_GED.html#MGEP-CAV

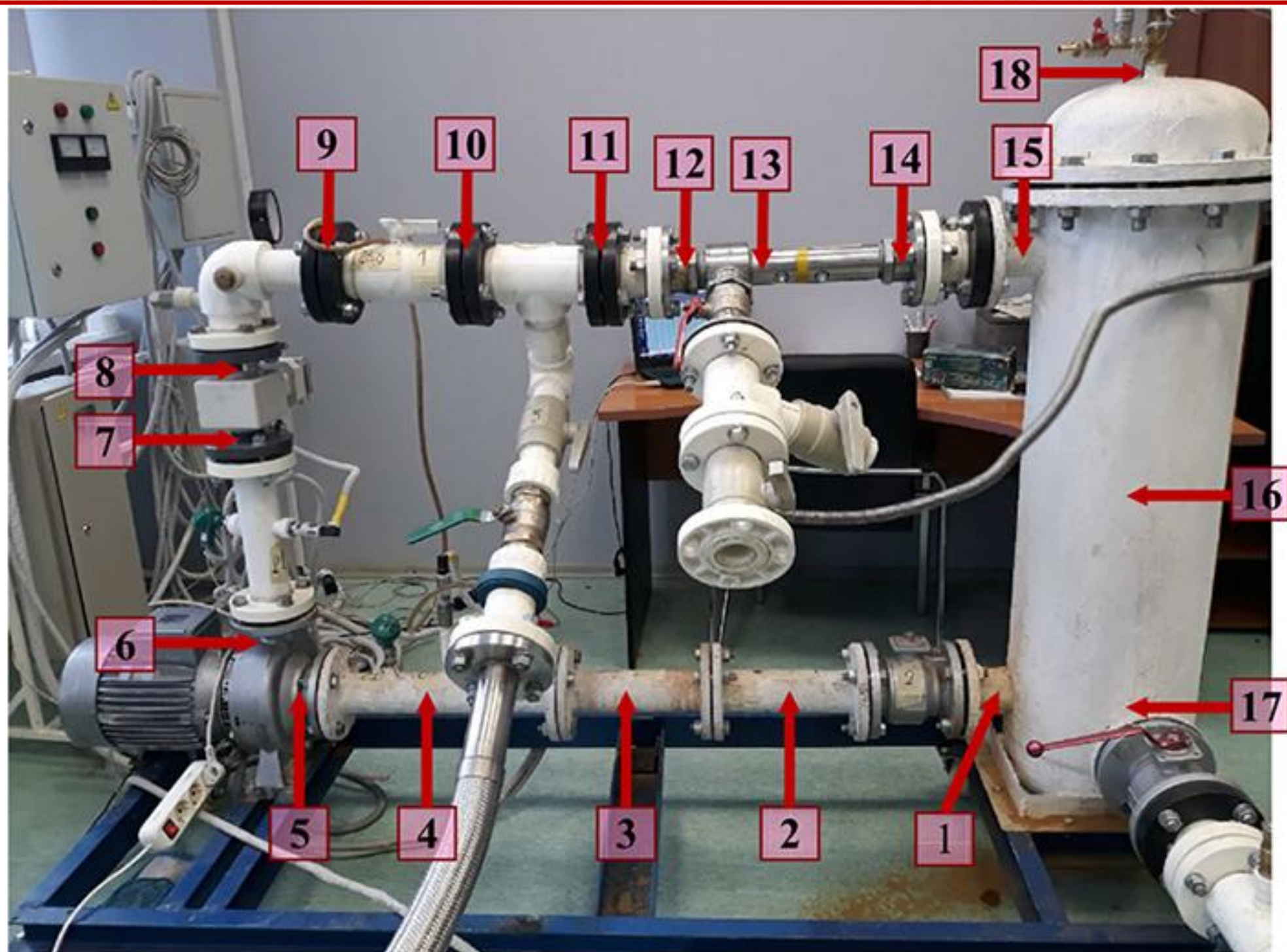


ФОТО УСТРОЙСТВА С УКАЗАНИЕМ ТОЧЕК ИЗМЕРЕНИЯ

Измерения проводились на расстоянии 45 мм от металлических стенок в 18-ти точках кавитационной установки “iWET”, давление после кавитатора 2.5 / 4.0 атм.

Выявлено:
превышение показаний в 2 - 4 раза
(по отношению к фону окружающей среде).